

УДК 677.024.01

ГЕОМЕТРИЧЕСКИЕ ХАРАКТЕРИСТИКИ ЗАПРАВОЧНОЙ ЛИНИИ ОСНОВЫ ПРИ ПОСТУПАТЕЛЬНОМ ПЕРЕМЕЩЕНИИ СКАЛА ПО КРОНШТЕЙНАМ*

Д. Е. ЕФРЕМОВ, С. Н. СПЕРАНСКИЙ

(Ивановская государственная текстильная академия)

В устройстве [1] основного регулятора (рис. 1) скало, помимо его движения с кронштейнами, может перемещаться по кронштейнам. При этом снижается доля деформации, приходящаяся на упругую систему заправки, и увеличивается доля деформации, воспринимаемая подвижной системой скала. Последняя работает «не только как датчик натяжения основы, но и как компенсатор ее натяжения с возможностью регулирования доли компенсации».

Рассмотрим методику определения геометрических характеристик заправочной линии основы при использовании на станке СТБ основного регулятора системы [1].

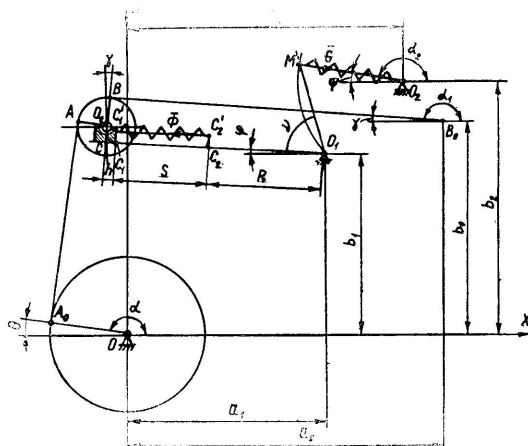


Рис. 1.

Геометрические характеристики заправочной линии основы определяются по схеме (рис. 1), в которой направляющие приняты за точки. Составим математическую модель подвижной системы ската с учетом его движения вдоль кронштейнов O_1C и деформации дополнительной пружины $C_1'C_2'$.

Введем обозначения: $O_1(a_1; b_1)$ — точка на оси подскалины; $O_2(a_2; b_2)$ — точка крепления главной пружины O_2M ; $B_0(a_0; b_0)$ — основнаблюдатель; $\rho = OA_0$ — радиус намотки основы на навое; $r = O_cA$ — радиус скала; $H = O_cC$ — расстояние от кронштейна до оси скала; $n = CC_1$ — половина ширины ползушки скала; $S = S(t) = C_1'C_2'$ — рабочая длина дополнительной пружины; $R = C_2'O_1$ — расстояние от точки C_2'

* Работа выполнена под руководством проф., докт. техн. наук Е. Д. Ефремова.

крепления этой пружины до оси O_1 подскалины; $L_1 = A_0A$ и $L_2 = BB_0$ — длина основы в зонах навой — скало и скало — основонаблюдатель; $\Theta = \angle A_0O(-x)$ — угол схода основы с навоем; $\gamma = \angle BB_0(-x)$ — угол между основой и горизонтальной плоскостью в зоне скало — основонаблюдатель; $v = \angle CO_1M$ — угол между кронштейном скала и прямой O_1M , где M — точка крепления главной пружины MO_2 на фигурном рычаге; $\varphi = \angle CO_1(-x)$ — угол наклона кронштейнов скала к горизонтальной плоскости; $R_0 = O_1M$ — расстояние от оси подскалины до точки крепления пружины на фигурном рычаге; $\psi = \angle MO_2(-x)$ — угол наклона этой пружины к горизонтали; $l_{\pi} = O_2M$ — рабочая длина пружины.

Для определения величин Θ и L_1 спроектируем на оси координат ломаную $OA_0AO_cC_2'C_2O_1$:

$$\begin{cases} -\rho \cos \Theta + L_1 \sin \Theta + r \cos \varphi + (n+S) \cos \varphi - H \sin \varphi + R \cos \varphi = a_1, \\ \rho \sin \Theta + L_1 \cos \Theta - r \sin \Theta - (n+S) \sin \varphi - H \cos \varphi - R \sin \varphi = b_1. \end{cases} \quad (1)$$

Решая систему уравнений (1) относительно Θ , получаем

$$\Theta = \arcsin [(\rho - r)/\mu_1] - \arcsin \{[(n+S+R) \cos \varphi - H \sin \varphi - a_1]/\mu_1\}, \quad (2)$$

$$\text{где } \mu_1 = \sqrt{[(n+S+R) \cos \varphi - H \sin \varphi - a_1]^2 + [(n+S+R) \sin \varphi + H \cos \varphi + b_1]^2}. \quad (3)$$

Из второго уравнения системы (1)

$$L_1 = [(n+S+R) \sin \varphi + H \cos \varphi + b_1 - (\rho - r) \sin \Theta] / \cos \Theta. \quad (4)$$

Величины Θ и L_1 изменяются в зависимости от ρ , φ и S .

Аналогично для определения угла γ и длины L_2 спроектируем ломаную $O_1C_2C_2'OB_0$ на оси координат:

$$\begin{cases} -R \cos \varphi + H \sin \varphi - (n+S) \cos \varphi + r \sin \gamma + L_2 \cos \gamma = a_0 - a_1, \\ R \sin \varphi + H \cos \varphi + (n+S) \sin \varphi + r \cos \gamma - L_2 \sin \gamma = b_0 - b_1. \end{cases} \quad (5)$$

Отсюда

$$\gamma = \arcsin (r/\mu_2) - \arcsin \{[(b_0 - b_1) - (n+S+R) \sin \varphi - H \cos \varphi]/\mu_2\}, \quad (6)$$

$$L_2 = [(a_0 - a_1) + (R + S + n) \cos \varphi - H \sin \varphi - r \sin \gamma] / \cos \gamma, \quad (7)$$

$$\text{где } \mu_2 = \sqrt{[a_0 - a_1 + (R + S + n) \cos \varphi - H \sin \varphi]^2 + [b_0 - b_1 - (R + S + n) \sin \varphi - H \cos \varphi]^2}. \quad (8)$$

Определим угол ψ наклона пружины O_2M и ее рабочую длину l_{π} . Из рис. 1 координаты точки $M[a_1 - R_0 \cos(\varphi + v); b_1 + R_0 \sin(\varphi + v)]$. Тогда

$$\psi = \arctg \{[b_1 - b_2 + R_0 \sin(\varphi + v)] / [a_2 - a_1 + R_0 \cos(\varphi + v)]\}, \quad (9)$$

$$l_{\pi} = \sqrt{[a_2 - a_1 + R_0 \cos(\varphi + v)]^2 + [b_2 - b_1 - R_0 \sin(\varphi + v)]^2}. \quad (10)$$

Если k_{π} — коэффициент жесткости одной пружины и l_0 — ее свободная длина, то сила

$$G = k_{\pi}(l_{\pi} - l_0). \quad (11)$$

Геометрическая модель (1)...(11) заправочной линии основы от навоя до основонаблюдателя при использовании рассматриваемого механизма учитывает возможность регулирования начального значения угла $\varphi = \varphi_0$ длины S , угла ψ , а также возможность конструктивного варьирования другими параметрами.

Совокупность аналитических выражений для геометрических параметров заправки основы и подвижной системы скала, зависящих от радиуса намотки основы на навое и угла наклона кронштейнов скала к горизонтальной плоскости, позволяет перейти к анализу динамических условий изменения натяжения основы во взаимосвязи с подвижной системой скала и решению всех связанных с этим задач.

ВЫВОДЫ

1. На геометрические характеристики заправочной линии основы в рассмотренном устройстве влияют изменяющийся радиус намотки основы на навое, угол наклона кронштейнов скала к горизонтали и рабочая длина дополнительной пружины.

2. Получены формулы для более точной оценки компенсирующих возможностей рассмотренного механизма и для оптимизации его работы.

ЛИТЕРАТУРА

1. Юхин С. С./Изв. вузов. Технология текстильной промышленности. — 1991, № 6. С. 45...46.

Рекомендована кафедрой высшей математики. Поступила 07.06.96.
